# Controle Robusto $\mathcal{H}_2$ do Modelo do Pêndulo Invertido com Incertezas Politópicas

Julio Estefano Augusto Rosa Filho¹ –julio.estefano@ifpr.edu.br Márcio Roberto Covacic ² (orientador) –marciocovacic@uel.br

1 - Instituto Federal do Paraná - IFPR Paranavaí
 2 - Departamento de Engenharia Elétrica da Universidade Estadual de Londrina - DEEL-UEL

**Resumo:** Neste artigo é apresentado o projeto de um controlador  $\mathcal{H}_2$  aplicado ao modelo do pêndulo invertido sobre uma plataforma móvel, onde é considerada a presença de incertezas paramétricas do tipo politópicas, e a otimização de determinados índices de desempenho do sistema de controle, sendo o critério de desempenho a norma  $\mathcal{H}_2$ . No desenvolvimento do controle  $\mathcal{H}_2$  é adotada uma abordagem por LMI's, e com essa técnica é obtido um ganho do controlador que estabiliza o sistema e minimiza a norma  $\mathcal{H}_2$ . Os procedimentos para a validação do controle foram feitos por meio de análises e condições matemáticas e simulações computacionais com o software MATLAB.

**Palavras-chave:** Pêndulo invertido. Incertezas Politópicas. Controle  $\mathcal{H}_2$ . Inequações Matriciais Lineares.

#### 1. Introdução

O pêndulo invertido é um sistema mecânico que vem sendo muito estudado em controle de sistemas instáveis, o que torna sua planta bastante utilizada na investigação e desempenho de várias técnicas de controle.

O projeto de controladores para sistemas sujeitos a incertezas de parâmetros tem sido um dos objetivos da teoria de controle robusto. Em Gonçalves; Palhares; Takahashi (2004), desenvolve-se o problema de otimização da norma  $\mathcal{H}_2$  e  $\mathcal{H}_{\infty}$ , por realimentação de estados, e em Gonçalves; Palhares; Takahashi (2006), o uso de controladores  $\mathcal{H}_2$  e  $\mathcal{H}_{\infty}$  são utilizados para sistemas incertos.

Neste trabalho, é projetada uma lei de controle por realimentação de estados, cuja matriz de ganhos é projetada de modo a estabilizar o sistema e minimizar a norma  $\mathcal{H}_2$ . A proposta é projetar e avaliar o desempenho de um controlador ótimo  $\mathcal{H}_2$ , a partir de um problema de otimização convexa, apresentado na forma de inequações matriciais lineares (LMI's).

No desenvolvimento desse controle, é considerada a presença de distúrbios e incertezas no sistema de controle onde o parâmetro incerto a ser considerado é a massa do pêndulo que possui valor constante, mas desconhecido, embora esteja dentro de um intervalo conhecido.

Para validações dos resultados, foram realizadas simulações computacionais com o auxílio do ambiente de simulação do Matlab no ambiente Simulink.

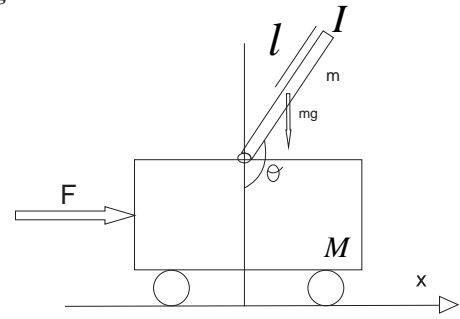
### 2. Materiais e Métodos

O sistema em estudo consiste de um pêndulo invertido em um carro móvel, onde a

barra sobre o carro fica livre para mover-se conforme ilustra a Figura 1. Primeiramente será feita uma descrição do modelo em estudo considerando as equações da física que descrevem a dinâmica do movimento do carro conforme encontrado em (BUGEJA, 2003).

Para o desenvolvimento do modelo do pêndulo invertido sobre uma plataforma móvel, considere a Figura 1.

Figura 1 - Pêndulo invertido sobre carro móvel



Fonte: Adaptado de Bugeja, (2003)

As equações dos movimentos para esse sistema foram obtidas utilizando-se as Leis de Newton. Dessa forma, considerando o diagrama de corpo livre da Figura 1, tem-se que:

$$F = (M + m)\ddot{x} + ml\ddot{\theta}\cos\theta - ml\dot{\theta}^2sen\theta \tag{1}$$

$$(I+ml^2)\ddot{\theta} + mglsen\theta = -ml\ddot{x}\cos\theta \tag{2}$$

As equações (1) e (2) não são lineares. Para encontrar a função de transferência do sistema, é necessário obter um modelo linearizado. Considerando o ponto de equilíbrio do sistema representado pela Figura 1, onde o valor de  $\theta$  é considerado a partir da posição de equilíbrio representado por  $\theta = \pi - \varphi$ , onde  $\varphi$  é uma pequena variação de  $\theta$  da posição vertical do pêndulo invertido. Dessa forma, linearizando as equações (1) e (2), obtém-se as equações linearizadas:

$$(M+m)\ddot{x} - ml\ddot{\varphi} = F \tag{3}$$

$$(I+ml^2)\ddot{\varphi} - mgl\varphi = ml\ddot{x} \tag{4}$$

Para o projeto de controladores usando realimentação de estados, o ganho de realimentação de estado ótimo pode ser obtido pelo sistema de controle obtido em (AGUIRRE, 2007):

$$\dot{x}(t) = A(\alpha)x(t) + B(\alpha)u(t) + B_{w}(\alpha)w(t),$$

$$z(t) = C(\alpha)x(t) + D(\alpha)u(t),$$

$$y(t) = C_{y}(\alpha)x(t), \tag{5}$$

onde,  $x(t) \in \mathbb{R}^n$ ,  $u(t) \in \mathbb{R}^m$ ,  $w(t) \in \mathbb{R}^l$ ,  $z(t) \in \mathbb{R}^q$ , e  $y(t) \in \mathbb{R}^r$ , representam respectivamente os vetores de estado, de controle, de perturbação, de saída controlada e a saída medida. Considere ainda para o sistema (5) que:

$$A(\alpha) = \sum_{i=1}^{N} \alpha_i A_i, B(\alpha) = \sum_{i=1}^{N} \alpha_i B_i, B_w(\alpha) = \sum_{i=1}^{N} \alpha_i B_{wi},$$

$$C(\alpha) = \sum_{i=1}^{N} \alpha_i C_i, D(\alpha) = \sum_{i=1}^{N} \alpha_i D_i, C_y(\alpha) = \sum_{i=1}^{N} \alpha_i C_{yi},$$

$$(6)$$

sendo que:

$$\alpha_i \ge 0, i = 1, ... N e \sum_{i=1}^{N} \alpha_i = 1$$
 (7)

onde, i=1,...,N no qual  $N=2^n$ , n representa o número de parâmetros incertos, e  $A_i, B_i, B_{wi}, C_i, D_i$  e  $C_{vi}$  são matrizes constantes para cada parâmetro incerto.

Para calcular a norma  $\mathcal{H}_2$  para o sistema em malha fechada, considerando a lei de controle por realimentação positiva Aguirre (2007) de estado linear definida por u = Kx(t), obtêm-se as LMI's:

$$\begin{cases}
\min \operatorname{Tr} \{J\}, \\
\operatorname{sujeito a} : \begin{bmatrix} J & B'_{w}(\alpha) \\ B_{w}(\alpha) & X \end{bmatrix} \ge 0, \\
\begin{bmatrix} A(\alpha)X + XA'(\alpha) + B(\alpha)Z + Z'B'(\alpha) & XC'(\alpha) + Z'D'(\alpha) \\ C(\alpha)X + D(\alpha)Z & -I \end{bmatrix} \le 0.
\end{cases}$$
(8)

A partir da solução, obtém-se a matriz de realimentação de estados.

$$K = ZX^{-1}, (9)$$

e a norma  $\,{\cal H}_{\!_{2}}\,$  do sistema, com o ganho obtido é:

$$\left\|T_{zw}\right\|_{2} \le \sqrt{Tr(J)} \tag{10}$$

Através do modelo linearizado das equações (3) e (4) são obtidas suas representações em espaços de estados descrito por (11) e (12), onde o distúrbio a ser considerado é representado pela massa m presente nas matrizes:

$$\begin{bmatrix} \dot{x} \\ \ddot{x} \\ \dot{\phi} \\ \ddot{\phi} \end{bmatrix} = \begin{bmatrix} 0 & 1 & 0 & 0 \\ 0 & 0 & \frac{m^2 g l^2}{(M+m)I + Mml^2} & 0 \\ 0 & 0 & 0 & 1 \\ 0 & 0 & \frac{mgl(M+m)}{(M+m)I + Mml^2} & 0 \\ \end{bmatrix} \begin{bmatrix} x \\ \dot{x} \\ \phi \\ \dot{\phi} \end{bmatrix} + \begin{bmatrix} 0 \\ \frac{(I+ml^2)}{(M+m)I + Mml^2} \\ 0 \\ \frac{ml}{(M+m)I + Mml^2} \end{bmatrix} u$$
(11)

$$y = \begin{bmatrix} 1 & 0 & 0 & 0 \\ 0 & 0 & 1 & 0 \end{bmatrix} \begin{bmatrix} x \\ \dot{x} \\ \phi \\ \dot{\phi} \end{bmatrix} + \begin{bmatrix} 0 \\ 0 \end{bmatrix} u. \tag{12}$$

## 3. Resultados e discussões

Para o sistema do pêndulo invertido, foi considerado que o pêndulo tem uma massa de valor constante e pertencente dentro de um intervalo conhecido. Portanto, a massa do pêndulo terá uma variação no intervalo de  $[m+\delta]$  a  $[m-\delta]$ . Para esse sistema, será considerado também que: M=0.5kg, m=0.4kg, l=0.15m e I=0.003kgm.

Considerando que a margem de incerteza da massa do pêndulo seja de 40% tem-se que, as matrizes  $A(\alpha)$  e  $B(\alpha)$  formam uma combinação convexa de dois vértices que são representadas pelos seguintes elementos:

$$A_{1} = \begin{bmatrix} 0 & 1 & 0 & 0 \\ 0 & 0 & 2.5841 & 0 \\ 0 & 0 & 0 & 1 \\ 0 & 0 & 53.1176 & 0 \end{bmatrix}, A_{2} = \begin{bmatrix} 0 & 1 & 0 & 0 \\ 0 & 0 & 7.3016 & 0 \\ 0 & 0 & 0 & 1 \\ 0 & 0 & 92.1395 & 0 \end{bmatrix}, B_{1} = \begin{bmatrix} 0 \\ 1.7073 \\ 0 \\ 7.3171 \end{bmatrix} e B_{2} = \begin{bmatrix} 0 \\ 1.6456 \\ 0 \\ 8.8608 \end{bmatrix},$$
(13)

onde é considerado que  $B_{w1} e B_{w2}$  são iguais a  $B_1 e B_2$ .

Para o problema de controle definido em (8), busca-se a função objetivo  $f_0$  de modo

que a lei de controle u(t) minimize a norma  $\mathcal{H}_2$ . Para isso, considere as seguintes variáveis:

$$J = [j] \tag{14}$$

$$X = \begin{bmatrix} x_{11} & x_{12} & x_{13} & x_{14} \\ x_{12} & x_{22} & x_{23} & x_{24} \\ x_{13} & x_{23} & x_{33} & x_{34} \\ x_{14} & x_{24} & x_{34} & x_{44} \end{bmatrix}$$

$$(15)$$

$$Z = \begin{bmatrix} z_1 & z_2 & z_3 & z_4 \end{bmatrix} \tag{16}$$

Assim, na descrição do problema por LMI's,

$$v_d = \begin{bmatrix} j & x_{11} & x_{12} & x_{22} & x_{13} & x_{23} & x_{33} & x_{14} & x_{24} & x_{34} & x_{44} & z_1 & z_2 & z_3 & z_4 \end{bmatrix}', \tag{17}$$

e a função objetivo é descrita por:

$$fo = Tr\{J\} \tag{18}$$

Aplicando a condição dada em (8) as matrizes dos vértices representadas por (13), tem-se que o ganho do controlador obtido por programação no Matlab é dado por:

$$K = \begin{bmatrix} 66.8728 & 49.3949 & -86.7713 & -15.0136 \end{bmatrix}$$
 (19)

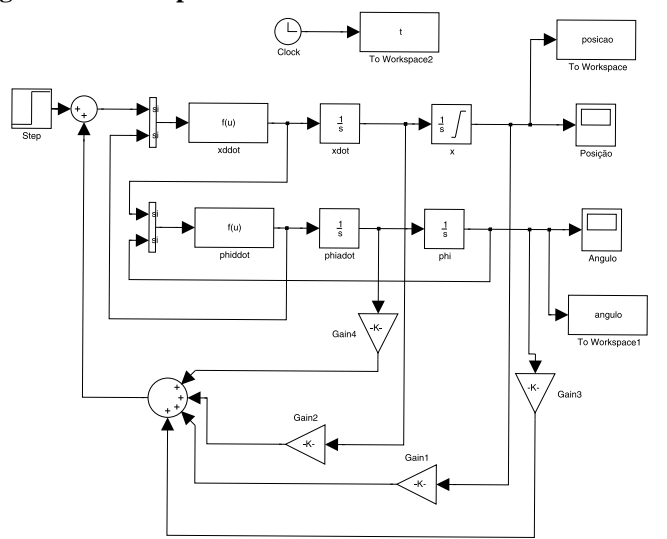
Assim a norma  $\mathcal{H}_2$  do sistema controlado é igual a:

$$norma\mathcal{H}_2 = 0.3978 \tag{20}$$

## 3.1. Simulação do pêndulo linearizado considerando incertezas politópicas

Para o sistema linearizado do pêndulo, foi obtida a planta da Figura 2 construída no ambiente Simulink do Matlab.

Figura 2 - Planta para o sistema linearizado em malha fechada



Fonte: Próprio autor, (2015)

Para a simulação, foram considerados dois valores para a massa do pêndulo: (i) para a massa mínima, (ii) para a massa máxima, definindo dessa forma, dois vértices para o politopo.

Para a simulação do ângulo do pêndulo, considerando a massa do pêndulo mínima e máxima, foi obtido o resultado mostrado na Figura 3.

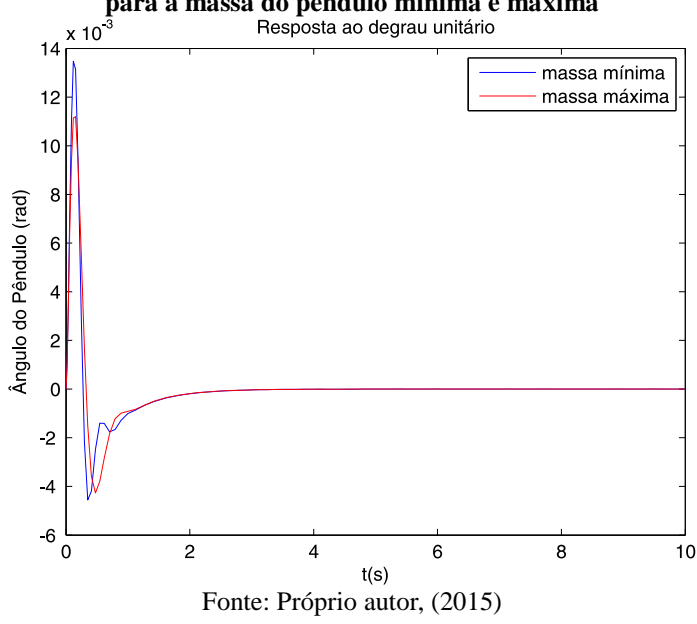


Figura 3 - Ângulo do pêndulo considerando o ganho do controlador para a massa do pêndulo mínima e máxima

Para o gráfico que representa o ângulo de estabilidade do pêndulo, verifica-se que, em ambos os casos da massa, o sistema estabiliza na posição zero graus conforme esperado, sendo o comportamento diferenciado apenas no instante anterior à 2 segundos.

#### 4. Conclusão

Neste trabalho, foi apresentada uma modelagem matemática do sistema físico de um pêndulo invertido sobre um carro móvel. Considerando que o pêndulo é um sistema altamente instável, projetou-se um controlador por realimentação de estados, considerando o sistema sujeito a incertezas politópicas, onde o parâmetro incerto foi atribuído à massa do pêndulo e o critério de desempenho como sendo a norma  $\mathcal{H}_2$ .

## REFERÊNCIAS

AGUIRRE, L. A. Enciclopédia de Automática: Controle e Automação, volume II. São Paulo: Blucher, 2007.

BUGEJA, M. Non-linear swing-up and stabilizing control of an inverted pendulum system. EUROCON, Ljubljana, Slovenia, 2003.

GONÇALVES, E. N.; PALHARES, R. M.; TAKAHASHI, H. C. **Síntese de controladores PID**  $\mathcal{H}_2/\mathcal{H}_{\infty}$  **robustos para sistemas incertos**. XVI Congresso Brasileiro de Automática CBA, 2006.

GONÇALVES, E. N.; PALHARES, R. M.; TAKAHASHI, R. H. C. Otimização multiobjetivo aplicada a síntese de controladores robustos  $\mathcal{H}_2/\mathcal{H}_{\infty}$  por realimentação de estado. XV Congresso Brasileiro de Automática CBA, 2004.